

К РАСКРЫТИЮ ГЕОМЕТРИЧЕСКИХ И ФИЗИЧЕСКИХ ТАЙН ВЕЛИКИХ ПИРАМИД И ИХ ВОЗМОЖНЫХ АНАЛОГОВ

Разгадке тайн Великих Пирамид Гизы, возраст которых оценивается от 4600 до 70000 (!!) лет, посвящено большое количество публикаций. Однако до сих пор нет ответа даже на общие вопросы: кто, как и зачем создал эти главные Чудеса света ? Выдвигаемые предположения носят, в основном, гипотетический характер и не подтверждаются обоснованными доказательствами и расчётами.

В настоящей статье, являющейся продолжением первых работ автора [1-3] по геометрии пирамид и конусов, фактически впервые проведены комплексные расчёты как геометрические, так и физические, естественно, начиная с расчёта потенциалов и напряжённостей гравитационных (а заодно и электростатических) полей вдоль оси пирамиды от её вершины к середине основания.

Исходным началом расчётов, проведённых на примере пирамиды Хеопса, было допущение того, что измеряемый в наше время угол наклона боковых граней этой пирамиды к ее основанию $\alpha_{\text{exp}} \approx 51,8^\circ$ должен точно равняться очень близкому по величине углу $\alpha_{\text{th}} = \arccos(\phi) = \arctg(\sqrt{\Phi}) \simeq 51,827\ 292\ 313^\circ$, где $\phi = (-1 + \sqrt{5}) / 2 \simeq 0,618033989$, $\Phi = (1 + \sqrt{5}) / 2 = \phi + 1 = 1 / \phi \simeq 1,618033989$ - константы золотого сечения. Разработчики пирамид, очевидно, обладали уникальными знаниями, так как первое упоминания о золотом сечении (в началах Евклида) появилось минимум через 2000 лет после создания пирамид.

Другим фактическим подтверждением ключевой роли золотого сечения в геометрии пирамид является то, что отношение площади основания пирамиды к площади её боковой поверхности с высокой точностью равно отношению площади боковой поверхности к площади полной поверхности и равно ϕ !

Далее, уже из проведённых в данной статье расчётов следует, что полагая,

что пирамида описана около шара, получаем, что высоты её боковых граней и, следовательно, образующая вписанного в пирамиду конуса, имеют минимальное значение, равное Φ , именно при угле $\alpha = \arctg(\sqrt{\Phi})$!

Очень важным результатом является то, что в работе автора статьи [2] впервые показано, что пирамида Хеопса является идеальным геометрическим объектом, так как её вурф $W_{abc} = (a+b)(b+c)/b(a+b+c)$ по трём найденным характерным линейным размерам пирамиды a, b, c оказывается точно равным его идеальному значению $\Phi^2/2 = 1,309016996$, которое следует из свойств фундаментальной последовательности Фибоначчи !

В данной статье также получено много замечательных и нетривиальных соотношений точно выражающихся через константы золотого сечения ϕ, Φ . Кроме того, рассмотрены и возможные аналоги Великих пирамид, геометрические параметры которых, могут определяться идеальным вурфом уже по угловым параметрам пирамид. Наконец, в статье в продолжение работ автора [4-7] по системной гармонии в различных полях впервые рассчитаны потенциалы и напряжённости собственных гравитационных полей данной пирамиды. В итоге выявлены интересные и неожиданные экстремальные соотношения для параметров полей вдоль оси пирамиды, причём эти соотношения с высокой точностью выполняются опять же при $\alpha = \arctg(\sqrt{\Phi})$.

Основанием пирамиды Хеопса (см. рис. 1) является квадрат со стороной $AB = a \simeq 230,3$ м. Высота $SO = h \simeq 146,6$ м, рёбра $SA = SB = SC = SD \simeq 225$ м.

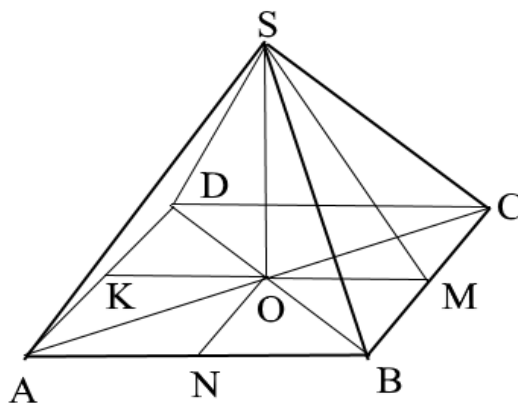


Рис. 1

Пусть $\angle SMO = \alpha = \arctg \sqrt{\Phi} \simeq 51,827\,292\,373^\circ$ и единицей длины является $\ell = 115,15\text{м}$, тогда $AB = a = 2$, $OM = ON = 1$, $SO = h = \sqrt{\Phi} \simeq 1,272\,019\,649$, $SM = L = \sqrt{\Phi + 1} = \Phi$, $SA = \sqrt{\Phi + 2}$, $\angle OSM = \beta = \arctg \sqrt{\phi} \simeq 38,172\,707\,627^\circ$, $\angle SAO \simeq \arctg \sqrt{\Phi/2} \simeq 41,969\,915\,234^\circ$, $SA = \sqrt{\Phi + 2} \simeq 1,902\,113\,033$. Отметим, что отношение периметра основания пирамиды к её высоте $4a/h \simeq 6,289 \approx 2\pi$!

Важной особенностью правильной 4-х угольной пирамиды с углом наклона боковой грани к основанию $\alpha = \arctg \sqrt{\Phi}$ является то, что произвольная фигура, спроецированная с любой боковой грани вначале на основание, а затем на соседнюю боковую грань в итоге даст фигуру, подобную исходной, причём, с коэффициентом подобия ϕ . Действительно, при проецировании с грани на основание размеры фигуры вдоль одной из осей уменьшатся с коэффициентом $k = \cos \alpha = \cos(\arctg \sqrt{\Phi}) = \phi$. При проецировании же с основания на соседнюю боковую грань размеры фигуры уменьшатся в перпендикулярном направлении с тем же коэффициентом $k = \cos \alpha = \phi$. Чтобы убедиться в этом, плоскости боковых граней следует повернуть к плоскости основания относительно соседних сторон основания, напр., AB и BC . При этом апофемы SM и SN зададут ортогональные направления, вдоль которых происходит изменение размеров проектируемой фигуры.

В этой связи отметим также то, что двугранный угол δ между боковыми гранями правильной n -угольной пирамиды с углом наклона боковых граней к основанию α равен:

$$\cos(\delta/2) = \sin \alpha \cdot \sin(\pi/n) \quad (1)$$

Для 4-х угольной пирамиды с $n=4$ и $\alpha = \arctg \sqrt{\Phi}$ получим: $\sin \alpha = \sqrt{\phi}$ и $\cos(\delta/2) = \sqrt{\phi/2}$, $\delta = 2\arccos(\sqrt{\phi/2}) \simeq 112,455\,515\,199^\circ$, $\cos(\delta) = -\phi^2$.

Перейдём теперь к рассмотрению такой характеристики пирамиды, как вурф. Для 3-х отрезков длиной a, b, c понятие вурф W_{abc} , введённое немецким

математиком Карлом Штаудтом в 1856 г. при рассмотрении задач проективной геометрии, определяется выражениями [8]:

$$W_{abc} = (a+b)(b+c)/b(a+b+c) = 1 + ac/b(a+b+c) \quad (2)$$

Однако, так как сам термин вурф (от нем. wurf – бросок) является слишком абстрактным, в задачах, связанных с золотым сечением, более логичным было бы использование термина - отношение гармонических отношений согласно следующей записи W_{abc} :

$$W_{abc} = (a+b)/b / (a+b+c)/(b+c) \quad (3)$$

В общем случае 3 отрезка можно переставить $3! = 6$ способами, и так как W_{abc} не изменяется при перестановке крайних величин ($W_{abc} = W_{cba}$), то при переменных $a \neq b \neq c$ будем иметь лишь 3 разных функции $W_{abc}, W_{cab}, W_{acb}$.

Согласно принятым эмпирическим канонам, напр., в архитектуре и даже в живой природе значение вурфа $W_{abc} = \Phi^2 / 2 = 1 + \phi / 2 = 1,309016994$ считается идеальным [9].

Математическим обоснованием этого мнения могут служить расчёты определённого ниже предела функции $W_{n,n+1,n+2}$ из членов фундаментальной последовательности Фибоначчи F_n , открытой ещё в 12 веке при наблюдении за ростом популяции кроликов и характеризующейся соотношениями:

$$F_{n+2} = F_{n+1} + F_n, \quad \{F_n\} = 1, 1, 2, 3, 5, 8, 13, 21, \dots \quad (4),$$

$$\lim_{n \rightarrow \infty} F_n / F_{n+1} = \phi, \quad \lim_{n \rightarrow \infty} F_{n+1} / F_n = \Phi \quad (5)$$

Вычисляя заданный в (6) предел функции $W_{n,n+1,n+2}$, получим:

$$\begin{aligned} \lim_{n \rightarrow \infty} W_{n,n+1,n+2} &= (F_n + F_{n+1}) \cdot (F_{n+1} + F_{n+2}) / F_{n+1} (F_n + F_{n+1} + F_{n+2}) = \quad (6) \\ &= \lim_{n \rightarrow \infty} F_{n+2} / F_{n+1} \cdot \lim_{n \rightarrow \infty} F_{n+3} / 2F_{n+2} = \Phi \cdot \Phi / 2 = \Phi^2 / 2 \approx 1,309016994 \end{aligned}$$

В ходе детальных расчётов в [2] установлено, что полагая длину сторон основания пирамиды равной 1, характерными размерами, определяющими

идеальный вурф пирамиды являются высота пирамиды h и радиусы различных вписанных и описанных сфер r, R .

Так, радиус сферы $r_s = QO = QG$ (s – sphere), вписанной в пирамиду (см. рис.1, 2) с $SO = h$, $\angle SMO = \angle SKO = \alpha$ и $KO = OM = r$ (r - радиус основания конуса, вписанного в пирамиду, равный половине длины a основания пирамиды) определяется соотношением:

$$r_s = r \cdot \operatorname{tg}(\alpha/2) = r \cdot [\sqrt{h^2 + r^2} - r] / h \quad (7)$$

Зависимость же радиуса полусферы $r_{ss} = OF$ (ss - semisphere), вписанной в пирамиду (см. рис. 2) так, что плоскость, проходящая через центр полусферы совпадает с плоскостью, в которой лежит основание пирамиды, имеет вид:

$$r_{ss} = r \cdot \sin \alpha = r \cdot h / \sqrt{h^2 + r^2} \quad (8)$$

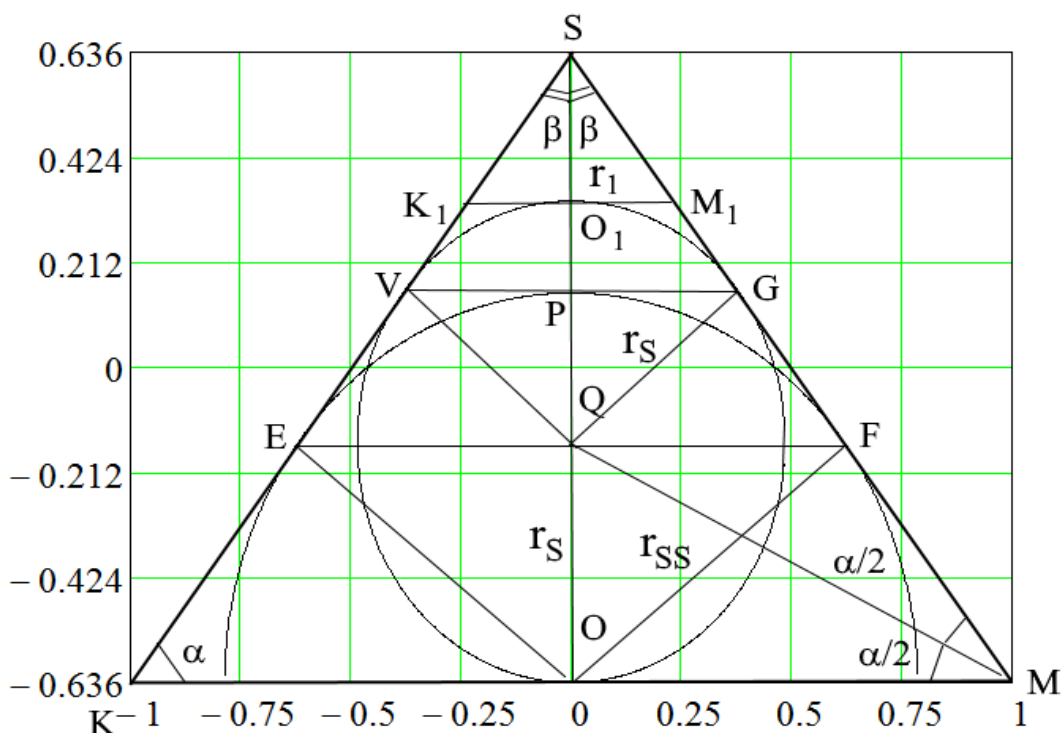


Рис. 2

При фиксированной длине основания пирамиды ($r = 1$) радиусы $r_s(h)$ и $r_{ss}(h)$ монотонно растут с ростом высоты пирамиды h , однако, трудно предсказуемым явилось, обнаружение, во-первых, того, что разность радиусов

$\Delta r(h) = r_{SS}(h) - r_S(h)$ (см. рис. 3, кривая 1) имеет экстремум – максимум и именно при $h = \sqrt{\Phi}$!! . Во-вторых, разность $\Sigma r(h) - h = r_S(h) + r_{SS}(h) - h$ (кривая 2 на рис. 3) оказалась равной нулю также при $h = \sqrt{\Phi}$.

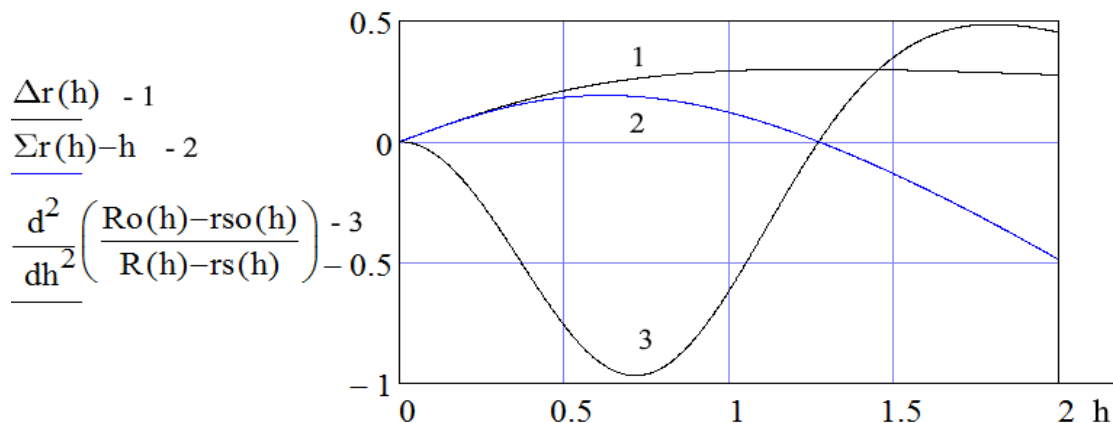


Рис. 3

В итоге были установлены следующие важные соотношения:

$$r_{SS}(\sqrt{\Phi}) = \phi^{1/2}, \quad r_S(\sqrt{\Phi}) = \phi^{3/2}, \quad r_{SS}(\sqrt{\Phi}) / r_S(\sqrt{\Phi}) = \Phi \quad (9),$$

$$r_{SS}(\sqrt{\Phi}) + r_S(\sqrt{\Phi}) = \phi^{1/2} + \phi^{3/2} = \sqrt{\Phi} = h \quad (10),$$

$$OQ = r_S = r_{SS} \cos \alpha, \quad OP = r_{SS} = r_S + r_S \cos \alpha, \quad \alpha = \arctg(\sqrt{\Phi}) \quad (11)$$

Таким образом, получаем что отрезки длиной $r_{SS}(\sqrt{\Phi})$, $r_S(\sqrt{\Phi})$ делят высоту пирамиды $h = \sqrt{\Phi}$ в отношении золотого сечения ! Более того, полагая $a = h = \sqrt{\Phi}$, $b = r_{SS} = \phi^{1/2}$, $c = r_S = \phi^{3/2}$, получаем ещё один весьма важный результат - пирамида Хеопса имеет идеальные значения вурфов (!):

$$W_{abc} = \Phi^2 / 2, \quad W_{acb} = \Phi^2 / 2 + 1/2, \quad W_{cab} = \phi + 1/2 \quad (12)$$

Полученные соотношения (12) позволяют назвать эту Великую пирамиду идеальным геометрическим объектом !!

При фиксировании радиуса шара $r_S = \Phi^{3/2}$, вписанного в пирамиду, было найдено следующее экстремальное соотношение: длина образующей конуса,

вписанного в пирамиду, $SM=L(\alpha)$ имеет наименьшее значение, причём равное Φ , также именно при $\alpha = \arctg(\sqrt{\Phi})$:

$$L(\alpha) = r_s / \operatorname{tg}(\alpha/2) + r_s / \operatorname{tg}(\pi/2 - \alpha), \quad L_{\min} = L(\arctg(\sqrt{\Phi})) = \Phi \quad (13)$$

Следует указать и два важных инварианта, найденных для исследуемой пирамиды:

$$\angle KQK_1 = \angle MQM_1 = \pi/2, \quad r_s = \sqrt{OM \cdot O_1M_1} = \sqrt{r \cdot r_1} \quad (14)$$

Уникальность пирамиды Хеопса подтверждает, наконец, и найденное весьма нетривиальное соотношение - обращение в ноль при $h = \sqrt{\Phi}$ второй производной, определяющей точку перегиба в такой сложной функции как $f(h) = [R_O(h) - r_{sO}(h)] / [R(h) - r_s(h)]$ (кривая 3 на рис. 3), где R, r_s - радиусы окружностей описанной около ΔSMK и вписанной в него, R_O, r_{sO} - радиусы окружностей описанной около ΔSAC и вписанной в него (см. рис. 1, 2).

Подчеркнём, что найденные соотношения характерны лишь для пирамиды Хеопса, а также для подобных ей пирамид. Так, уменьшив размеры пирамиды в Φ раз получим соотношения, аналогичные (9),(11):

$$r_{sS}(\sqrt{\Phi}) = \Phi^{3/2}, \quad r_s(\sqrt{\Phi}) = \Phi^{5/2}, \quad r_{sS}(\sqrt{\Phi}) / r_s(\sqrt{\Phi}) = \Phi \quad (15),$$

$$r_{sS}(\sqrt{\Phi}) + r_s(\sqrt{\Phi}) = \Phi^{3/2} + \Phi^{5/2} = \sqrt{\Phi} = h \quad (16)$$

Линейные вурфы таких подобных пирамид также идеальны и равны $\Phi^2 / 2$.

Существенно, что в исходную пирамиду можно вписать и инвертированные (с вершиной вниз) повёрнутые пирамиды. Напр., если в полусферу радиуса r_{sS} вписать пирамиду так, что её вершина будет в точке O (см. рис. 2), а угловые точки основания будут совпадать с точками касания полусферы E, F и т. д. с боковыми гранями исходной пирамиды, то эта пирамида будет инвертирована и

повёрнута относительно исходной пирамиды (по вертикальной оси) на угол $\pi/4$ Её высота h_i и сторона основания a_i определяются соотношениями:

$$h_i = a^2 h / 4(h^2 + a^2 / 4), \quad a_i = a h^2 / (h^2 + a^2 / 4) \quad (17)$$

При $a=2$ и $h=\sqrt{\Phi}$ получим: $h_i = \Phi^{3/2}$, $a_i = 2\Phi$ Отсюда следует, что у новой пирамиды угол наклона боковой грани к плоскости основания α_i равен

$$\alpha_i = \arctg(2h_i / a_i) = \arctg(\sqrt{\Phi}) = \pi/2 - \arctg(\sqrt{\Phi}) = \pi/2 - \alpha \quad (18)$$

Наряду с линейными вурфами введём и угловые вурфы. Так, расчёты, проведённые для углов α, β ($\alpha + \beta = \delta = \pi/2$) в ΔSMK и ΔSMO (см. рис. 1,2), показали, что идеальный вурф $W_{\alpha\beta\delta} = \Phi^2 / 2$ реализуется при $\alpha < \beta$ и

$$\alpha_1 = \pi/2(\Phi+1) \simeq 34,376941013^\circ, \quad \beta_1 = \pi\Phi/(\Phi+1) \simeq 55,623058987^\circ \quad (19)$$

В этом случае считая длину основания пирамиды равной 1, получим, что

$$SO = h_1 = 1 \cdot \operatorname{tg}\alpha_1 = 0,684123313, \quad r_{S1} = 1 \cdot \sin(\arctg(h_1)/2) = 0,309331213 \quad (20),$$

$$r_{SS1} = 1 \cdot \sin(\arctg(h_1)) \simeq 0,564634886, \quad r_{S1} + r_{SS1} \simeq 0,837966099 \neq h_1 \quad (21)$$

В случае $\beta < \alpha$ идеальным вурфом является $W_{\beta\alpha\delta} = \Phi^2 / 2$ и

$$\alpha_2 = \pi\Phi/2(\Phi+1) \simeq 55,623058987^\circ, \quad \beta_2 = \pi/(\Phi+1) \simeq 34,376941013^\circ \quad (22),$$

$$SO = h_2 = 1 \cdot \operatorname{tg}\alpha_2 = 1,461724780, \quad r_{S2} = 1 \cdot \sin(\arctg(h_2)/2) = 0,527497381 \quad (23),$$

$$r_{SS2} = 1 \cdot \sin(\arctg(h_2)) \simeq 0,825340805, \quad r_{S2} + r_{SS2} \simeq 1,352838187 \neq h_2 \quad (24)$$

Таким образом, для пирамид, идеальных по угловым вурфам, базовое соотношение (10) $r_S + r_{SS} = h$, верное при идеальных линейных вурфах, не выполняется, поэтому и свойства этих пирамид могут быть иными.

Перейдём теперь к расчётам потенциалов и напряжённостей собственных гравитационных полей пирамиды вдоль её оси SO (см. рис. 1,2). Аналитические формулы удалось получить лишь для вписанного в пирамиду конуса, который

получается при вращении вокруг оси пирамиды SO треугольника SMK . Но поскольку пирамида и конус в целом подобны (их объёмы описываются одинаковыми формулами $V=S \cdot h/3$ и их центры тяжести находятся на одинаковом расстоянии $3h/4$ от вершины пирамиды и конуса), то распределения гравитационных полей вдоль их осей должны быть близки.

Для вычисления потенциалов $U(x, y, z)$ и напряженностей (F_x, F_y, F_z) гравитационных полей (сил притяжения точечных масс m) телом с объёмом V и плотностью $\rho(\xi, \eta, \zeta)$ использовались следующие классические выражения:

$$U(x, y, z) = \iiint_V \rho(\xi, \eta, \zeta) d\zeta d\eta d\xi / r, \quad r = \sqrt{(\xi-x)^2 + (\eta-y)^2 + (z-\zeta)^2} \quad (25),$$

$$F_x = Gm \partial U / \partial x = Gm \iiint_V \rho(\xi-x) d\zeta d\eta d\xi / r^3 \quad (26),$$

$$F_y = Gm \partial U / \partial y = Gm \iiint_V \rho(\eta-y) d\zeta d\eta d\xi / r^3 \quad (27),$$

$$F_z = Gm \partial U / \partial z = Gm \iiint_V \rho(\zeta-z) d\zeta d\eta d\xi / r^3 \quad (28)$$

Подчеркнём, что для потенциалов и напряжённостей электростатических полей используются те же выражения (25)-(28), в которых, однако, вместо гравитационной постоянной G используется коэффициент пропорциональности $1/4\pi\epsilon\epsilon_0$, а вместо массы m заряд q .

Затем были использованы последние достижения для нахождения потенциалов тел сложной формы, изложенные в [10]. В итоге было найдено следующие аналитическое выражение для распределения потенциала собственного гравитационного поля вдоль оси конуса Z .

$$U(z) = \pi G \rho \{ (h - zh^2/L^2) \cdot \sqrt{L^2 - 2zh + z^2} + z^2 h^2/L^2 - 2z^2 - h(h - 2z) + \\ + [z^2 r^2 h \cdot \ln | (\sqrt{L^2 - 2zh + z^2} + L - zh/L) / z(1 - h/L) |] / L^3 \}, \quad L = \sqrt{h^2 + r^2} \quad (29)$$

На рис. 4 показаны графики функций $u(z)=U(z)/\pi G\rho$ (кривая 1) и $F_z=\partial u(z)/\partial z$ (кривая 2) при $h=\sqrt{\Phi}$. $r=1$. Координата z изменяется от вершины конуса ($z=0$) до середины его основания ($z=\sqrt{\Phi}$).

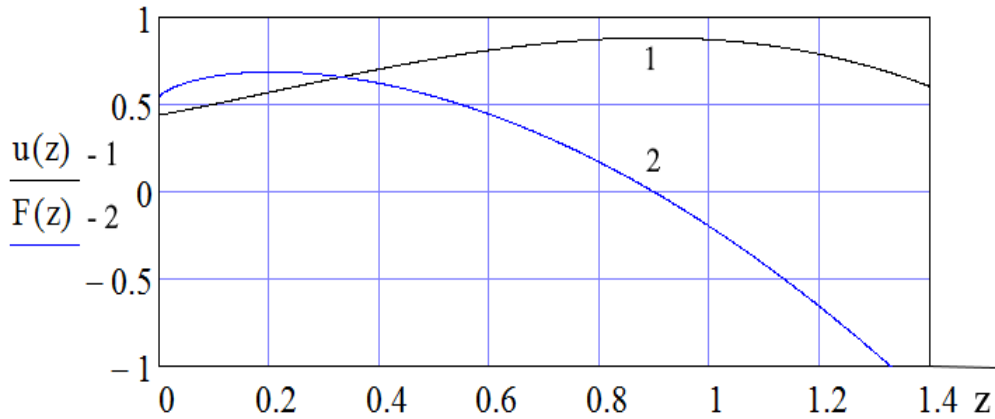


Рис. 4

Из (29) следует, что $u(z) = u(z)_{\max}$ при $z \simeq 0,898301 \simeq \sqrt{\Phi}/2 \simeq 0,899453$. При этом значении z напряжённость поля меняет знак и обращается в ноль, т. е. силы притяжения точечной массы в положительном и отрицательном направлениях уравниваются.

В точке центра масс, отстоящей от центра основания на расстоянии $h/4 = \sqrt{\Phi}/4 \simeq 0,318005 \simeq 1/\pi \simeq 0,318309$ сила притяжения направлена к основанию конуса и равна $F_z(3\sqrt{\Phi}/4) \simeq 0,106150 \simeq (\phi + \Phi)/21 \simeq 0,106479$.

$$F(z) = F_{\max} \simeq 2(\Phi - \sqrt{\Phi}) \text{ при } z \simeq 0,203738 \simeq (\phi + \Phi)/11 \simeq 0,203278.$$

Разность модулей сил притяжения между серединой основания и вершиной

$$\Delta F = |F(\sqrt{\Phi})| - |F(0)| \simeq 0,845642 - 0,544047 = 0,301595 \simeq \phi^{5/2} \simeq 0,300283.$$

Аналитические выражения, полученные для потенциалов в вершине конуса $u_v(h)$ и в центре основания, имеют вид:

$$u_v(h) = h \cdot [L(h) - h], \quad L(h) = \sqrt{h^2 + r^2} \quad (30),$$

$$u_o(h) = r^2 h(r-h) / L^2(h) + \{r^2 h^3 \cdot \ln|r(L(h)+r) / h(L(h)-h)\} / L^3(h) \quad (31)$$

Если считать, что в (30),(31) при изменении высоты конуса h его исходные объём $V = \pi l^2 \sqrt{\Phi} / 3 = \pi r^2 h / 3$ (и масса) сохраняются, то тогда должен меняться и радиус основания конуса: $r = \sqrt{\sqrt{\Phi} / h}$.

Графики функций (30), (31) показаны на рис. 5 ($u_o(h)$ -кривая 1, $u_v(h)$ -кривая 2). Существенно, что данные потенциалы имеют экстремумы: потенциал в середине основания $u_o = u_{o\max} \simeq 0,734$ при высоте конуса $h \simeq 1,257 \simeq \sqrt{\Phi} \simeq 1,272$, потенциал в вершине конуса $u_v = u_{v\max} \simeq 0,587$ при $h \simeq 0,541 \simeq \Phi / 3 \simeq 0,539$. Помимо функции $u_o(h)$ удалось найти и иные функции, имеющие экстремумы (минимумы) при $h \simeq \sqrt{\Phi}$! И этими функциями оказались 1-е производные от среднего арифметического потенциалов $u_o(h)$ и $u_v(h)$ (кривая 3) и от их среднего геометрического (кривая 4).

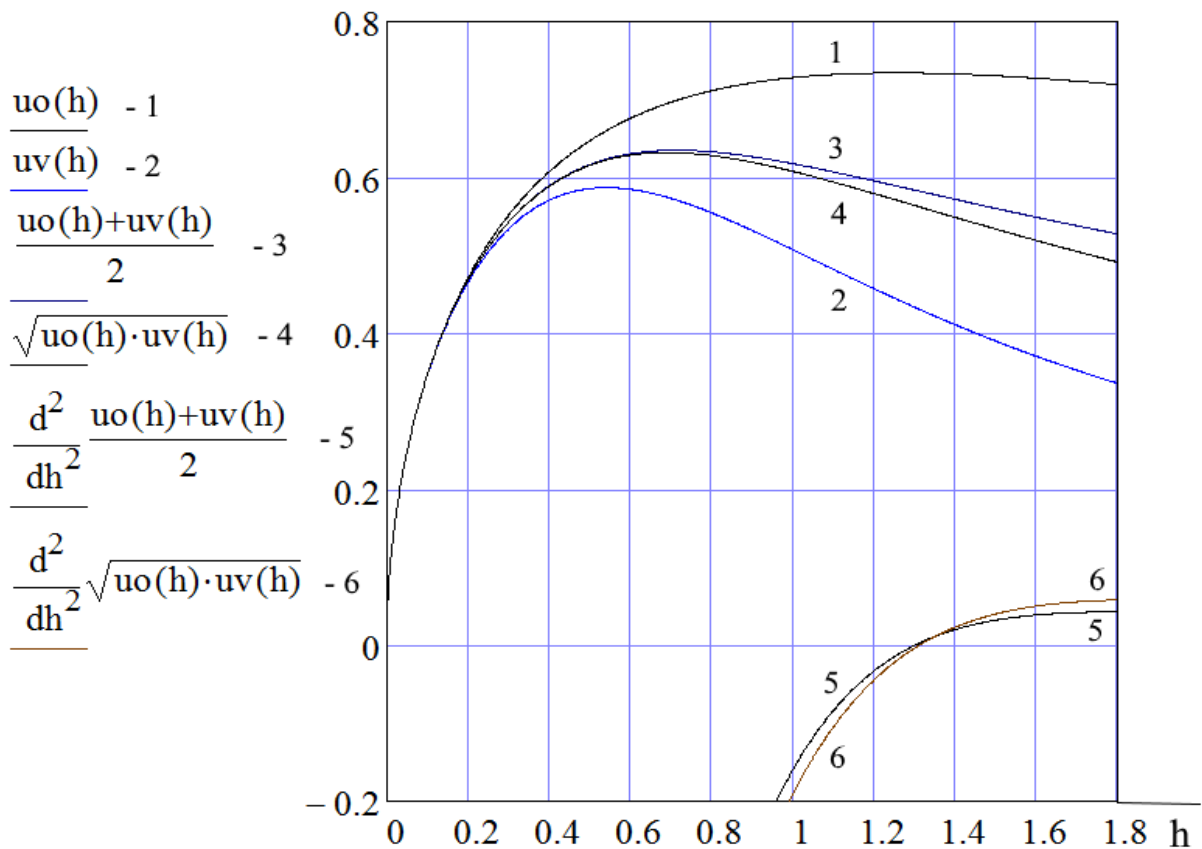


Рис. 5

Наличие экстремума в 1-х производных от указанных функций средних значений отражает прохождение через ноль 2-х производных от этих функций : $(u_o(h)+u_v(h))/2$ при $h \simeq 1,300525$ и $\sqrt{u_o(h) \cdot u_v(h)}$ при $h \simeq 1,311223$ (см. рис. 5, кривые 5, 6). Значение h для средней арифметической функции ближе к исходной высоте конуса $h = \sqrt{\Phi}$.

Эти нетривиальные результаты говорят о том, что пирамида Хеопса может быть особым детектором, настроенным на точку перегиба функций средних значений потенциалов $u_o(h)$ и $u_v(h)$, в которой 2-е производные обращаются в ноль. Напомним, что ранее мы уже получили подобный результат (см. рис. 3 кривая 3) – обращение в ноль 2-й производной от относительной функции $f(h) = [R_o(h) - r_{so}(h)] / [R(h) - r_s(h)]$ при $h \simeq \sqrt{\Phi}$.

Укажем также, что 1-е производные от функций средних значений потенциалов обращаются в ноль при $h \simeq 0,689$ для $\sqrt{u_o(h) \cdot u_v(h)}$ и $h \simeq 0,722$ для $u_o(h) + u_v(h)$. Значение $h \simeq 0,689$ ближе к высоте пирамиды $h_1 \simeq 0,684$, имеющей идеальный вурф по угловым размерам (см. соотношения (19)-(21)).

Аналитические выражения, полученные для сил притяжения точечных единичных масс вдоль оси конуса к его центру $F_o(h)$ и к его вершине $F_v(h)$, имеют вид:

$$F_v(h) = 2h(L(h) - h) / L(h) \quad (32),$$

$$F_o(h) = 2h + 2h^2(r(h) - h) / L^2(h) -$$

$$- \{2h^2 r(h)^2 \cdot \ln|r(h)(L(h) + r(h)) / h(L(h) - h)\} / L^3(h)$$

Графики функций (32), (33) показаны на рис. 5 ($F_o(h)$ - кривая 1, $F_v(h)$ - кривая 2).

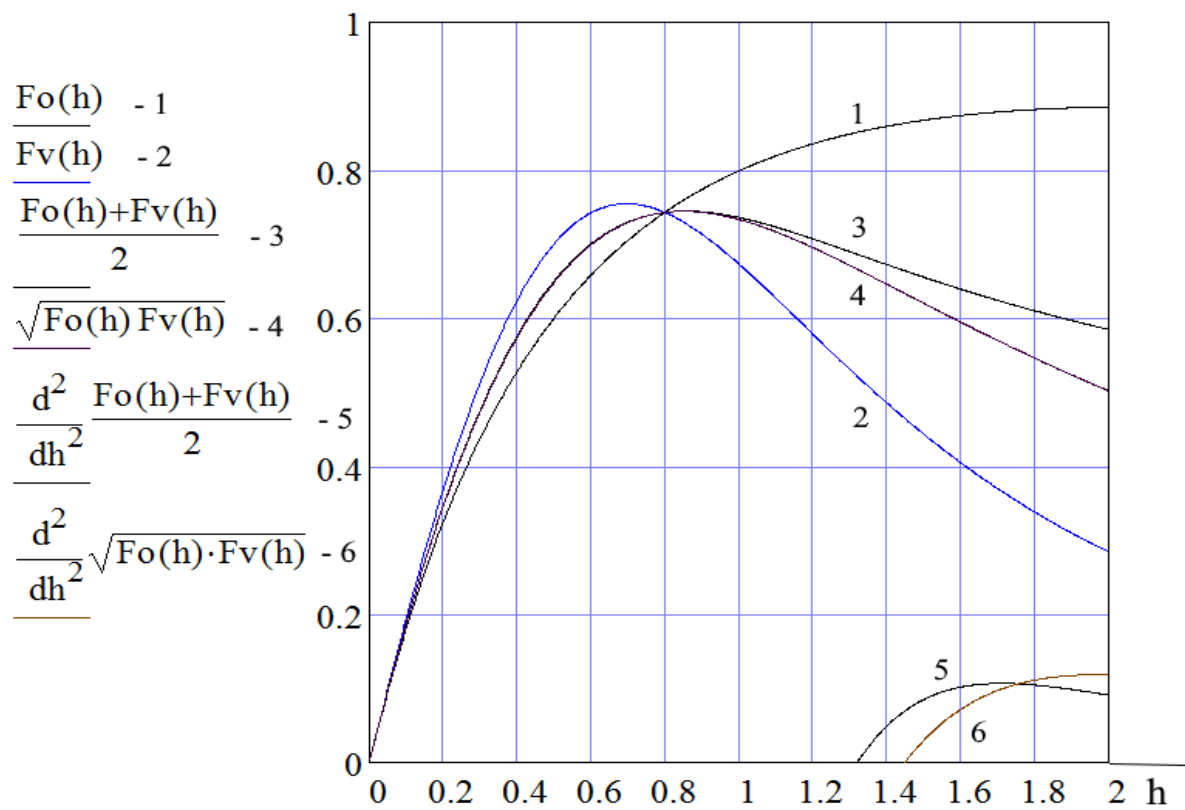


Рис. 6

Функция $F_V(h)$ имеет максимум при $h \simeq 0,695607 \simeq \sqrt{\sqrt{\Phi} - \sqrt{\phi}} \simeq 0,697042$, и это значение h также близко к высоте пирамиды $h_1 \simeq 0,684$ с идеальным вурфом по угловым размерам (см. (19)-(21)).

Сила же притяжения $F_O(h)$ монотонно растёт с ростом высоты конуса h . Однако среднее арифметическое и среднее геометрическое функций $F_O(h)$ и $F_V(h)$ имеют максимумы (см. кривые 3, 4 на рис. 6): $F_O(h) + F_V(h)$ максимально при $h \simeq 0,855799$, $\sqrt{F_O(h) \cdot F_V(h)}$ максимально при $h \simeq 0,849873$. Эти значения h близки к $\sqrt{\Phi} / \sqrt{\Phi + \phi} \simeq 0,850651$.

Все силы становятся равными при $h \simeq 0,7989 \simeq \sqrt{\Phi} \cdot \pi / 5 \simeq 0,7992$

Кроме того, было установлено, что 2-е производные от функций средних значений сил $F_O(h)$ и $F_V(h)$, также как и 2-е производные функций средних значений потенциалов $u_O(h)$ и $u_V(h)$, обращаются в ноль при характерных размерах высоты конуса (см. рис. 6, кривые 5, 6). $d^2(F_O(h) + F_V(h)) / dh^2 = 0$ при

$h \simeq 1,320088 \simeq \sqrt{\Phi}$, $d^2 \sqrt{F_0(h) \cdot F_V(h)} / dh^2 = 0$ при $h \simeq 1,448548$. Последнее значение h близко к высоте второй пирамиды $h_2 = 1/h_1 \simeq 1,461$ с идеальным вурфом по угловым размерам (см. (22)-(24)).

Подчеркнём, что обнаружение экстремумов в 1-х производных различных функций средних значений не случайно, так как ранее в работах автора статьи [6,11] была установлена связь функций средних значений как с обобщёнными геометрическими, так и с электростатическими (гравитационными) моделями золотых сечений.

Таким образом, аналитические расчёты потенциалов и напряжённостей гравитационных полей, проведённые для конуса, вписанного в пирамиду Хеопса, выявили целый ряд весьма интересных и нетривиальных экстремальных закономерностей, с хорошей точностью реализующихся именно при характерных геометрических параметрах данной пирамиды.

Это обусловлено тем, что что распределения полей вдоль оси конуса и пирамиды не могут сильно отличаться, так как конус и пирамида имеют одинаковую высоту, одинаковое расположение центра тяжести и подобные формулы для расчёта объёма. При этом отношение объёмов (и масс) пирамиды и вписанного в неё конуса равно $4/\pi \simeq 1,273$, причём, это отношение близко к «магическому» числу для пирамиды Хеопса $\sqrt{\Phi} \simeq 1,272$, что, возможно, не является случайным совпадением.

В этой связи, отметим, что отношения, выражающиеся через константы золотого сечения, были найдены автором статьи не только для пирамиды в целом, но и, напр., для такого сооружения внутри пирамиды как «Царская» комната, находящейся на высоте $\simeq 42,3$ м от основания пирамиды в области экстремума гравитационного потенциала и смены знака напряжённости поля (см. рис. 4, кривые 1,2).

Эта комната, имеющая форму параллелепипеда, имеет следующие размеры:

ширина $W \simeq 5,23$ м, длина $L \simeq 10,46$ м, высота $H \simeq 5,84$ м. Отсюда получаем весьма интересные соотношения между величинами W, L, H , меньшей d и большей D диагоналями параллелепипеда:

$$d = \sqrt{W^2 + L^2} \simeq 11,694. \quad D = \sqrt{W^2 + L^2 + H^2} \simeq 13,074,$$

$$d/W \simeq 2,236 \simeq \phi + \Phi = 2,236068, \quad D/d - W/L \simeq 0,6179 \simeq \phi,$$

$$D/d + W/L \simeq 1,6179 \simeq \Phi, \quad W \cdot D / H \cdot d \simeq 1,000. \quad L \cdot H / W \cdot d \simeq 0,999$$

В заключение отметим, что характерные параметры двух других Великих пирамид – Хефрена-Хафра (вначале стоят имена фараонов на греческом языке) и Микерина-Менкаура наряду с пирамидой Хеопса-Хуфу, также выражаются через константы золотого сечения ϕ, Φ .

Для пирамиды Хефрена высота $h \simeq 143,9$ м, длина стороны основания $a \simeq 215,3$ м. Угол наклона боковых граней к основанию $\alpha \simeq 53,2^\circ$ можно аппроксимировать либо углом $\alpha = \arctg(4/3) = 53,130102^\circ$ «египетского» треугольника, либо углом $\alpha = 2 \cdot \arctg(1/2) = 2 \cdot (\arctg\Phi - \arctg\phi) \simeq 53,126102^\circ$, при этом $3 = (\phi + \Phi)^2$, $4 = \Phi^3 - \phi^3$.

Для пирамиды Микерина $h \simeq 65,55$ м, $a \simeq 102,2 - 104,6$ м. Углы наклона боковых граней к основанию $\alpha \simeq 51,4^\circ - 52,1^\circ$ можно аппроксимировать также как и для пирамиды Хеопса углом $\alpha = \arccos(\phi) = \arctg(\sqrt{\Phi}) \simeq 51,827292^\circ$,

ЛИТЕРАТУРА

1. *А.Н.Шелаев*. К раскрытию геометрических тайн великих пирамид.

Академия тринитаризма, www.trinitas.ru, М., Эл. № 77-6567, публ, 17965, 31.03.

2013. - 8 С.

2. *А.Н.Шелаев*. Кинематическая модель внутренних и внешних золотых сечений и соответствующих им вурфов – отношений гармонических отношений. Академия тринитаризма, www.trinitas.ru, М. Эл. № 77-6567, публ. 21326, 21.10.2015.- 12 С.

3. *А.Н.Шелаев*. Инварианты, золотые сечения и минимумы длин, площадей и объёмов для отдельных конусов, описанных около шара, и для их бесконечных множеств. Актуальные проблемы современной науки, № 2, 2010, - С. 60-63.

4. *А.Н.Шелаев*. Соотношения гармонии для внутренних и внешних гравитационных полей однородных тел и экстремумы функций средних значений для потенциалов и ускорений. Актуальные проблемы современной науки, 2011, № 2, С.115-118.

5. *А.Н. Шелаев*. Электростатическая модель золотых сечений и функций средних значений. Академия тринитаризма, www.trinitas.ru, М. Эл. № 77-6567, публ. 17511, 08.06.2012. – 9 С.

6. *А.Н.Шелаев*. Электростатические и гравитационные модели инвариантных произведений. Академия тринитаризма, www.trinitas.ru, М. Эл. № 77-6567, публ. 17609, 06. 06.08.2012. - 12 С.

7. *А.Н.Шелаев*. Электростатические модели инвариантных сумм и разностей – софокусные эллипсы и гиперболы как эквипотенциальные линии тонких равномерно-заряженных стержней. Академия тринитаризма, www.trinitas.ru, М., Эл., № 77-6567, публ, 18066, 13.06.2013. - 7 С.

8. *М. Комацу*. Многообразие геометрии. Пер с японс.М., Мир,1981. - 208 С.

9. *С.В.Петухов*. Матричная генетика, алгоритмы генетического кода, помехоустойчивость. М.- Ижевск, Регулярная и хаотическая динамика, 2008. - 316 С.

10. *Б.П.Кондратьев*. Теория потенциала. Новые методы и решения. М., Мир. 2007. – 512 С.

11. *А.Н.Шелаев*. Обобщённая геометрическая модель золотых сечений и функций средних значений. Академия тринитаризма, www.trinitas.ru, М. Эл. № 77-6567, публ. 17485, 28, 05.2012. -12 С.

12. Dimentions of Pyramid of Khufu (Cheops). www.Khufu.dk

